

МАТЕМАТИЧНЕ МОДЕЛЮВАННЯ СИСТЕМ І ПРОЦЕСІВ

Лекція 8. Моделювання фрактального броунівського руху

Київ – 2015

БРОУНОВСКОЕ движение представляет собой пример естественного фрактала с фрактальной размерностью $d = 1.5$ (Мандельброт и Ван Несс, 1968). Впервые его наблюдал шотландский ботаник Роберт Броун¹ в 1827 году: он заметил непрерывное беспорядочное движение взвешенных в жидкости маленьких частиц (пыльцы), но ошибочно приписал причину движения самим частицам ([22]). Только в 1905 году Альберт Эйнштейн² и вслед за ним в 1906 году Мариан Смолуховский объяснили это движение хаотическими соударениями с молекулами окружающей среды ([21]). В 1908–1913 годах Жан Батист Перрен поставил ряд опытов ([23]), подтвердивших выводы Эйнштейна и Смолуховского. И, наконец, в 1923 год Норберт Винер построил первую математическую модель броуновского движения ([24, 25]). Альтернативные подходы были предложены Андреем Николаевичем Колмогоровым в 1933 году и Полем Леви в 1948 году ([26], [27], все три подхода см. в [28]).

Эту лекцию мы посвятим моделированию кривых классического броуновского движения, а также кривых и поверхностей фрактального броуновского движения (рассмотренные Б. Мандельбротом и В. Нессом [29]), пригодных для моделирования рельефа поверхности и других естественных процессов.

3.0.3 Классическое броуновское движение

Рассмотрим случайный процесс (случайную величину) $X(t)$, заданную на отрезке $[0, T]$.

Определение 3.1. Случайный процесс $X(t)$ называется одномерным броуновским движением (или винеровским процессом) на интервале $[0, T]$, если он обладает следующими свойствами³:

- $X(0) = 0$ почти наверное и $X(t)$ — почти наверное непрерывная функция на $[0, T]$
- $X(t)$ — процесс с независимыми приращениями⁴;
- $X(t)$ — процесс с приращениями, распределёнными нормально⁵.

Отметим следующие свойства броуновского движения:

- $X(t)$ почти наверное нигде не дифференцируем (см. [29]);
- $X(t)$ — марковский процесс (не обладает памятью), т.е. если известна величина $X(t)$, то при $t_1 < t < t_2$ величины $X(t_1)$ и $X(t_2)$ независимы;
- Фрактальная размерность графика $X(t)$ равна 1.5;
- Приращение $X(t)$ обладает свойством статистического самоподобия⁶: для любого $r > 0$

$$X(t + \Delta t) \triangleq \frac{1}{\sqrt{r}}(X(t + r\Delta t) - X(t)).$$

- Стационарность приращений: дисперсия приращения зависит только от разности моментов времени:

$$D(X(t_2) - X(t_1)) = \sigma^2|t_2 - t_1|. \quad (3.1)$$

- Математическое ожидание приращения равно

$$E(|X(t_2) - X(t_1)|) = \sqrt{2/\pi}\sigma\sqrt{|t_2 - t_1|}.$$

Для моделирования броуновского движения можно воспользоваться разными алгоритмами. Мы рассмотрим три из них.

Например, проще всего реализовать дискретную реализацию броуновского движения, рассмотрев последовательность $x_0 = 0$, $x_{n+1} = x_n + g_n$, где g_n — случайная величина, имеющая нормальное распределение (например, $N(0, 1)$).

```
load(distrib)$  
N:1000$  
• X[0]:0$  
for i:1 thru N do X[i]:X[i-1]+random_normal(0,1)$  
plot2d([discrete,makelist(i,i,0,N),listarray(X)])$
```



3.0.4 Алгоритм срединных смещений

Метод *случайного срединного смещения* основан на работах Н. Винера ([24, 25]), он более сложен, чем метод из предыдущего параграфа, однако используется для конструктивного доказательства существования броуновского движения, а также для построения *фрактальной интерполяции* (когда необходимо, чтобы кривая проходила через заданные точки интерполяции). Метод также может быть обобщен на случай n -мерных броуновских движений.

Алгоритм случайного срединного смещения вычисляет значения $X(t)$ в диадических рациональных точках вида $\frac{k}{2^n} \in [0, 1]$. Последовательно вычисляются значения в середине отрезка $[0, 1]$, затем в серединах отрезков $[0, \frac{1}{2}]$ и $[\frac{1}{2}, 1]$ и т. д.. На каждом шаге итерации должен выполняться закон дисперсии для приращений (3.1) в вычисленных точках. Параметр σ определяет масштаб по вертикальной оси, не влияя на фрактальную размерность графика.

АЛГОРИТМ 3.1: БРОУНОВСКОЕ ДВИЖЕНИЕ МЕТОДОМ СРЕДИННОГО СМЕЩЕНИЯ (1)

Вход: N ; ☞ число шагов алгоритма, при этом всего $2^N + 1$ точек интерполяции
 σ ; ☞ параметр вертикального масштаба, коэффициент дисперсии

Выход: массив значений $\{X(\frac{k}{2^N})\}_{k=0}^{2^N}$. ☞ реализация броуновского движения $X(t)$ на дискретном множестве точек вида $t_k = \frac{k}{2^N}$, $k = \overline{0, 2^N}$

1: $X(0) = 0$;

2: $X(1) = \sigma g$ ☞ g — случайная величина, распределенная нормально с параметрами $N(0, 1)$

3: Шаг 1:

$$X\left(\frac{1}{2}\right) = \frac{1}{2} (X(0) + X(1)) + \frac{1}{2} \sigma g;$$

4: Шаг 2:

$$X\left(\frac{1}{4}\right) = \frac{1}{2} (X(0) + X\left(\frac{1}{2}\right)) + \frac{1}{2^{3/2}} \sigma g;$$

$$X\left(\frac{3}{4}\right) = \frac{1}{2} (X\left(\frac{1}{2}\right) + X(1)) + \frac{1}{2^{3/2}} \sigma g;$$

⋮

5: Шаг N :

$$X\left(\frac{1}{2^N}\right) = \frac{1}{2} (X(0) + X\left(\frac{1}{2^{N-1}}\right)) + \frac{1}{2^{(N+1)/2}} \sigma g;$$

⋮

$$X\left(\frac{2^N-1}{2^N}\right) = \frac{1}{2} \left(X\left(\frac{2^N-1-1}{2^{N-1}}\right) + X(1) \right) + \frac{1}{2^{(N+1)/2}} \sigma g;$$

Заметим, что точки $t_k = \frac{k}{2^N}$ можно последовательно занумеровать номерами k . При этом если точка имеет вид $\frac{a}{2^b}$, то её номер $k = a2^{N-b}$. Укажем алгоритм, в котором точки t_k пронумерованы эффективно.

АЛГОРИТМ 3.2: БРОУНОВСКОЕ ДВИЖЕНИЕ МЕТОДОМ СРЕДИННОГО СМЕЩЕНИЯ (2)

Вход: N ; ☞ число шагов алгоритма, при этом всего $2^N + 1$ точек интерполяции
 σ ; ☞ параметр вертикального масштаба, коэффициент дисперсии

Выход: массив значений $\{X(k)\}_{k=0}^{2^N}$. ☞ реализация броуновского движения $X(t)$ на дискретном множестве точек вида $t_k = \frac{k}{2^N}$, $k = \overline{0, 2^N}$

- 1: $X(0) = 0$;
 - 2: $X(1) = \sigma g$ ☞ g — случайная величина, распределенная нормально с параметрами $N(0, 1)$
 - 3: для $j = 1, \dots, N$
 - 4: для $i = 1, \dots, 2^{N-j}$
 - 5: $X((2i-1)2^{N-j}) = X((i-1)2^{N-j+1}) + X(i2^{N-j+1}) + \frac{1}{2^{(j+1)/2}} \sigma g$; ☞ это соответствует формуле $X(\frac{2i-1}{2^j}) = X(\frac{i-1}{2^{j-1}}) + X(\frac{i}{2^{j-1}}) + \frac{1}{2^{(j+1)/2}} \sigma g$
-
-

БРОУНОВСКОЕ ДВИЖЕНИЕ МЕТОДОМ СРЕДИННОГО СМЕЩЕНИЯ

```
1 load(distrib)$
2 N:10$
3 s:2$
4 [X[0],X[2^N]]:[0,s*random_normal(0,1)]$
5
6 for j:1 thru N do
7   for i:1 thru 2^(j-1) do
8     X[(2*i-1)*2^(N-j)]:float((X[(i-1)*2^(N-j+1)]+X[i*2^(N-j+1)])/2+
9       s*random_normal(0,1)/2^((j+1)/2))$
10
11 plot2d([discrete,makelist(k/2^N,k,0,2^N),listarray(X)]);
```

В строчке 8 используется команда `float`, чтобы хранить в памяти результат, а не последовательность действий (подумайте над этим).

3.0.5 Фрактальное броуновское движение

Фрактальное броуновское движение (ФБД) уже не является марковским процессом, а обладает некоторой «памятью» (Б. Мандельброт и В. Несс, [29]). Кроме того, вводя параметр $0 < H < 1$ можно получить одномерное ФБД размерности $d = 2 - H$ и двумерное ФБД размерности $d = 3 - H$. Заметим, что классическое броуновское движение получается как частный случай при $H = 0.5$. Для аппроксимации ФБД нет простого метода, вроде суммирования нормальных случайных величин, как в случае классического броуновского движения. Для аппроксимации ФБД наиболее удобно использовать преобразования Фурье.

Рассмотрим случайный процесс (случайную величину) $X(t)$, заданную на отрезке $[0, T]$.

Определение 3.2. *Случайный процесс $X(t)$ называется одномерным⁷ фрактальным броуновским движением на интервале $[0, T]$, если он обладает следующими свойствами⁸:*

- $X(0) = 0$ почти наверное и $X(t)$ — почти наверное непрерывная функция на $[0, T]$;
- $X(t)$ — процесс с приращениями, распределенными нормально⁹.

Отметим следующие свойства фрактального броуновского движения:

- $X(t)$ почти наверное нигде не дифференцируем (см. [29]);
- Фрактальная размерность графика $X(t)$ равна $2 - H$;
- Процесс $x(t)$ не обладает свойством независимости приращений;
- Приращение $X(t)$ обладает свойством статистического самоподобия¹⁰: для любого $r > 0$

$$X(t + \Delta t) \triangleq \frac{1}{r^H} (X(t + r\Delta t) - X(t)).$$

- Стационарность приращений: дисперсия приращения зависит только от разности моментов времени:

$$D(X(t_2) - X(t_1)) = \sigma^2 |t_2 - t_1|^{2H}. \quad (3.2)$$

- Математическое ожидание приращения равно

$$E(|X(t_2) - X(t_1)|) = \sqrt{2/\pi\sigma} |t_2 - t_1|^H.$$

3.0.6 Метод Фурье-фильтрации для построения ФБД

Метод Фурье-фильтрации для аппроксимации ФБД заключается в следующем. Нам понадобится

Теорема 3.1 ([1]). *Если $X(t)$ — ФБД с параметром H , то его спектральная плотность*

$$S(f) \propto \frac{1}{f^{2H+1}}.$$

Идея метода состоит в следующем. Строится преобразование Фурье для искомого ФБД в частотной области, задавая случайные фазы и подбирая амплитуды, удовлетворяющие свойству из Теоремы 3.1. Затем получаем ФБД во временной области с помощью обратного преобразования Фурье.

Будем моделировать дискретный аналог ФБД, то есть наша цель — получить величины $\{X_n\}_{n=0}^{N-1}$, аппроксимирующие ФБД в точках n . Воспользуемся формулой дискретного преобразования Фурье

$$\hat{X}_n = \sum_{k=0}^{N-1} X_k e^{-2\pi kn/N}$$

и обратного дискретного преобразования Фурье

$$X_n = \sum_{k=0}^{N-1} \hat{X}_k e^{2\pi kn/N}.$$

Далее будем рассматривать только чётные значения N , а для применения метода быстрого дискретного преобразования Фурье нужно, чтобы $N = 2^M$, $M \in \mathbb{N}$. Метод быстрого дискретного преобразования Фурье реализован во многих системах компьютерной алгебры, в том числе и в Maxima. Он позволяет сократить вычисления в $\frac{2N}{\log_2 N}$ раз.

Для того, чтобы получающиеся величины X_n были вещественными, мы наложим условие сопряжённой симметрии:

$$\hat{X}_0, \hat{X}_{N/2} \in \mathbb{R}, \quad \hat{X}_n = \hat{X}_{N-n}, \quad n = 1, \dots, N/2 - 1. \quad (3.3)$$

Фильтрация относится к той части моделирования, когда мы заставляем коэффициенты преобразования Фурье удовлетворять степенному закону из Теоремы 3.1:

$$|\hat{X}_n|^2 \propto \frac{1}{n^{2H+1}}, \quad n = 1, \dots, N/2.$$

Для этого мы возьмём

$$\hat{X}_n = \frac{g e^{2\pi i u}}{n^{H+0.5}},$$

где g — независимые значения нормально распределённой случайной величины с параметрами $N(0, 1)$, а u — независимые значения равномерно распределённой на отрезке $[0, 1]$ случайной величины. Оставшиеся коэффициенты вычислим из соотношений (3.3).

Для вычисления искомой аппроксимации ФБД $\{X_n\}_{n=0}^{N-1}$ применим обратное дискретное преобразование Фурье к набору $\{\hat{X}_n\}_{n=0}^{N-1}$.

АЛГОРИТМ 3.3: КРИВАЯ ФБД МЕТОДОМ ФУРЬЕ-ФИЛЬТРАЦИИ

Вход: $H \in (0, 1)$; ϵ параметр ФБД, размерность графика равна $d = 2 - H$
 $N = 2^M, M \in \mathbb{N}$; ϵ параметр, определяющий количество точек дискретизации ФБД

Выход: массив значений $\{X_n\}_{n=0}^{N-1}$. ϵ дискретная аппроксимация ФБД в
последовательные моменты времени n

1: $\hat{X}_0 = g$;

2: для $j = 1, \dots, N/2 - 1$

3: $\hat{X}_j = \frac{g e^{2\pi i u}}{j^{H+0.5}}$;

4: $\hat{X}_{N/2} = \frac{g \cos(2\pi i u)}{(N/2)^{H+0.5}}$; ϵ Здесь \cos — вещественная часть комплексной экспоненты e

5: для $j = N/2 + 1, \dots, N - 1$

6: $\hat{X}_j = \overline{\hat{X}_{N-j}}$;

7: $X = \text{ОДПФ}(\hat{X})$. ϵ Вектор $X = \{X_0, \dots, X_{N-1}\}$ получается обратным дискретным преобразованием Фурье из вектора $\hat{X} = \{\hat{X}_0, \dots, \hat{X}_{N-1}\}$.

КРИВАЯ ФБД МЕТОДОМ ФУРЬЕ-ФИЛЬТРАЦИИ

```
1 load(distrib)$
2 load(fft)$
3 N:2^4$
4 H:1$
5
6 X[0]:random_normal(0,1)$
7 for j:1 thru N/2-1 do X[j]:random_normal(0,1)*
8     exp(2*%pi*i*random_continuous_uniform(0,1))/j^(H+0.5)$
9 X[N/2]:random_normal(0,1)*cos(2*%pi*random_continuous_uniform(0,1))/(N/2)^(H+0.5)$
10 for j:N/2+1 thru N-1 do X[j]:conjugate(X[N-j])$
11
12 Y:inverse_fft(rectform(ev(listarray(X),numer)))$
13
14 plot2d([discrete,makelist(i,i,0,N-1),realpart(Y)])$
```

fft — пакет для работы с быстрым дискретным преобразованием Фурье. Для применения команд этого пакета длина вектора-аргумента должна быть степенью 2. Вектор-аргумент может быть комплекснозначным, но все числа должны быть записаны в алгебраической форме.

fft(x) — возвращает массив (или список), являющийся быстрым дискретным преобразованием Фурье от массива (или списка) **x**;

inverse_fft(x) — возвращает массив (или список), являющийся быстрым обратным дискретным преобразованием Фурье от массива (или списка) **x**.

random_continuous_uniform(a,b) — псевдослучайная величина, распределенная равномерно на отрезке **[a, b]**, команда пакета **distrib**;

conjugate(x) — возвращает комплексно-сопряжённое к комплексному числу **x**;

Зачем нужны команды `rectform` и `ev`?

`rectform(x)` — приводит комплексное число x к алгебраической форме $a + ib$; без приведения числа к алгебраической форме нельзя пользоваться командой `fft`;

`ev(x, numer)` — в данном случае вычисляет значение x с флагом `numer` (численно).

Рассмотрим пример, чтобы понять, зачем нам нужны команды `rectform` и `ev`:

п р и м е р	<code>fpprintprec:14\$</code>	
	<code>a:-0.1234*%e^(0.1234*%e*i*%pi);</code>	<code>(%o2) -0.1234 %e^{0.1234 %i π}</code>
	<code>float(a);</code>	<code>(%o3) -0.1234 2.718281828459^{0.1234 %i π}</code>
	<code>ev(a, numer);</code>	<code>(%o4) -0.1234[0.378034692412 %i + 0.925791429715]</code>
	<code>rectform(a);</code>	<code>(%o5) -0.1234 %i sin(0.1234 π) - 0.1234 cos(0.1234 π)</code>
	<code>rectform(ev(a, numer));</code>	<code>(%o6) -0.0466494810436 %i - 0.114242662427</code>

`fpprintprec:x` — константа, ограничивающая количество выводимых на экран знаков в десятичном представлении всех чисел в программе; она не изменяет сами числа и не влияет на выполнение программы.

Зачем использована команда `realpart`, ведь теоретически должны получаться вещественные значения при соблюдении условия сопряжённой симметрии (3.3)? При подсчёте обратного преобразования Фурье с конечной точностью заданных значений получаются погрешности, в данном случае порядка $10^{-16}i$.

Для построения аппроксимации двумерного фрактального броуновского движения методом Фурье-фильтрации используются те же идеи, что и в одномерном случае¹¹. Вместо \hat{X}_n используются $\hat{X}_{k,j}$, $k, j = \overline{0, N-1}$, условие Теоремы 3.1 примет вид ([30]):

$$|\hat{X}_{k,j}|^2 \propto \frac{1}{(k^2 + j^2)^{H+1}}, \quad n, k = 1, \dots, N/2,$$

МЫ ВОЗЬМЕМ¹²

$$\hat{X}_{k,j} = \frac{ge^{2\pi iu}}{(k^2 + j^2)^{H/2+0.5}}, \quad n, k = 1, \dots, N/2.$$

Запишем обратное дискретное преобразование Фурье: для $m, n = \overline{0, N-1}$

$$\begin{aligned} X_{m,n} &= \sum_{k=0}^{N-1} \sum_{j=0}^{N-1} \hat{X}_{k,j} e^{-2\pi i \frac{kn+jm}{N}} = \hat{X}_{0,0} + \sum_{k=1}^{N-1} \hat{X}_{k,0} e^{-2\pi i \frac{kn}{N}} + \sum_{j=1}^{N-1} \hat{X}_{0,j} e^{-2\pi i \frac{jm}{N}} + \\ &+ \sum_{k=1}^{N/2} \sum_{j=1}^{N/2} \hat{X}_{k,j} e^{-2\pi i \frac{kn+jm}{N}} + \sum_{k=\frac{N}{2}+1}^{N-1} \sum_{j=\frac{N}{2}+1}^{N-1} (\dots) + \sum_{k=1}^{N/2} \sum_{j=\frac{N}{2}+1}^{N-1} (\dots) + \sum_{k=\frac{N}{2}+1}^{N-1} \sum_{j=1}^{N/2} (\dots). \quad (3.4) \end{aligned}$$

Из формулы (3.4) следует, что для вещественности всех величин $X_{m,n}$ достаточно выполнения следующих условий сопряжённой симметрии:

$$\hat{X}_{N-k, N-j} = \overline{\hat{X}_{k,j}}, \quad k, j = \overline{1, N/2}; \quad \hat{X}_{N/2, N/2} \in \mathbb{R}, \quad (3.5)$$

$$\hat{X}_{k, N-j} = \overline{\hat{X}_{N-k, j}}, \quad k, j = \overline{1, N/2 - 1}; \quad \hat{X}_{0,0} \in \mathbb{R}, \quad (3.6)$$

$$\hat{X}_{0, N-j} = \overline{\hat{X}_{0, j}}, \quad j = \overline{1, N/2}; \quad \hat{X}_{0, N/2} \in \mathbb{R}, \quad (3.7)$$

$$\hat{X}_{N-k, 0} = \overline{\hat{X}_{k, 0}}, \quad k = \overline{1, N/2}; \quad \hat{X}_{N/2, 0} \in \mathbb{R}. \quad (3.8)$$

(очевидно, условия (3.7)–(3.8) обеспечивают вещественность первых двух сумм, а условия (3.5)–(3.6) — оставшихся четырёх сумм).

АЛГОРИТМ 3.4: ПОВЕРХНОСТЬ ФБД МЕТОДОМ ФУРЬЕ-ФИЛЬТРАЦИИ

Вход: $H \in (0, 1)$; $\hat{\bullet}$ параметр ФБД, размерность графика равна $d = 3 - H$

$N = 2^M$, $M \in \mathbb{N}$; $\hat{\bullet}$ параметр, определяющий количество точек ФБД по каждому из двух измерений

Выход: массив значений $\{X_{n,k}\}_{n,k=0}^{N-1}$. $\hat{\bullet}$ дискретная аппроксимация ФБД на решётке узлов

-
- 1: для $j, k = \overline{1, N/2}$
 - 2: $\hat{X}_{j,k} = \frac{ge^{2\pi iu}}{(j^2+k^2)^{H/2+0.5}}$;
 - 3: $\hat{X}_{N-j,N-k} = \hat{X}_{j,k}$;
 - 4: для $k = \overline{1, N/2 - 1}$
 - 5: $\hat{X}_{0,k} = \frac{ge^{2\pi iu}}{(k^2)^{H/2+0.5}}$;
 - 6: $\hat{X}_{k,0} = \frac{ge^{2\pi iu}}{(k^2)^{H/2+0.5}}$;
 - 7: $\hat{X}_{0,N-k} = \hat{X}_{0,k}$;
 - 8: $\hat{X}_{N-k,0} = \hat{X}_{k,0}$;
 - 9: для $j, k = \overline{1, N/2 - 1}$
 - 10: $\hat{X}_{N-j,k} = \frac{ge^{2\pi iu}}{((N-j)^2+k^2)^{H/2+0.5}}$;
 - 11: $\hat{X}_{j,N-k} = \hat{X}_{N-j,k}$;
 - 12: $\hat{X}_{0,0} = 0$;
 - 13: $\hat{X}_{N/2,0} = \frac{g \cos(2\pi u)}{((N/2)^2)^{H/2+0.5}}$;
 - 14: $\hat{X}_{0,N/2} = \frac{g \cos(2\pi u)}{((N/2)^2)^{H/2+0.5}}$;
 - 15: $\hat{X}_{N/2,N/2} = \frac{g \cos(2\pi u)}{(2(N/2)^2)^{H/2+0.5}}$;
 - 16: $X = \text{ОДПФ}(\hat{X})$; $\hat{\bullet}$ Обратное дискретное преобразование Фурье матрицы $\hat{X} = \{\hat{X}_{j,k}\}_{j,k=0}^{N-1}$
-

ПОВЕРХНОСТЬ ФБД МЕТОДОМ ФУРЬЕ-ФИЛЬТРАЦИИ

```
1 load(distrib)$
2 load(fft)$
3 load(draw)$
4 N:2^4$
5 H:1$
6
7 for j:1 thru N/2 do
8   for k:1 thru N/2 do
9     (Y[j,k]:random_normal(0,1)*exp(2*%pi*i*random_continuous_uniform(0,1))/
10      (j^2+k^2)^(H/2+0.5),
11     Y[N-j,N-k]:conjugate(Y[j,k])
12   )$
13 for k:1 thru N/2-1 do
14   (Y[0,k]:random_normal(0,1)*exp(2*%pi*i*random_continuous_uniform(0,1))/
15    (k^2)^(H/2+0.5),
```

```

16     Y[k,0]:random_normal(0,1)*exp(2*%pi*%i*random_continuous_uniform(0,1))/
17         (k^2)^(H/2+0.5),
18     Y[0,N-k]:conjugate(Y[0,k]),
19     Y[N-k,0]:conjugate(Y[k,0])
20 )$
21 for j:1 thru N/2-1 do
22     for k:1 thru N/2-1 do
23         (Y[N-j,k]:random_normal(0,1)*exp(2*%pi*%i*random_continuous_uniform(0,1))/
24             ((N-j)^2+k^2)^(H/2+0.5),
25         Y[j,N-k]:conjugate(Y[N-j,k])
26         )$
27 Y[0,0]:0$
28 Y[N/2,0]:random_normal(0,1)*cos(2*%pi*random_continuous_uniform(0,1))/
29     ((N/2)^2)^(H/2+0.5)$
30 Y[0,N/2]:random_normal(0,1)*cos(2*%pi*random_continuous_uniform(0,1))/
31     ((N/2)^2)^(H/2+0.5)$
32 Y[N/2,N/2]:random_normal(0,1)*cos(2*%pi*random_continuous_uniform(0,1))/
33     (2*(N/2)^2)^(H/2+0.5)$
34
35 X:map(inverse_fft,rectform(genmatrix(Y,N-1,N-1,0,0)))$
36 Z:realpart(map(inverse_fft,transpose(X)))$
37
38 draw3d(elevation_grid(Z,0,0,1,1),surface_hide = true);

```


`genmatrix(A, j1, j2, i1, i2)` — возвращает матрицу, соответствующую массиву A , причём элемент $A[i_1, j_1]$ является левым верхним элементом матрицы, а элемент $A[i_2, j_2]$ — нижним правым (аналог команды `listarray` для списков); если пропустить аргументы i_1 и j_1 , то по умолчанию считается $i_1 = j_1 = 1$;

`transpose(x)` — возвращает транспонированную к x матрицу;

Заметим, что в силу формулы

$$X_{m,n} = \sum_{k=0}^{N-1} \sum_{j=0}^{N-1} \hat{X}_{k,j} e^{-2\pi i \frac{kn+jm}{N}} = \sum_{k=0}^{N-1} e^{-2\pi i \frac{kn}{N}} \sum_{j=0}^{N-1} \hat{X}_{k,j} e^{-2\pi i \frac{jm}{N}} = \sum_{k=0}^{N-1} \widehat{\hat{X}}_k e^{-2\pi i \frac{kn}{N}}$$

двумерное дискретное преобразование Фурье и обратное к нему можно получить, используя одномерные преобразования Фурье следующим образом: сначала применяем преобразование Фурье к каждой строчке матрицы \hat{X} , а затем — к каждому столбцу полученной матрицы. Эта схема реализована в нашем алгоритме в строках 35-36;

`elevation_grid(Z, x0, y0, Δx, Δy` — команда, используемая внутри команды `draw3d`, которая рисует график поверхности, аппликаты точек которой заданы элементами матрицы $Z_{m,n}$, а абсциссы и ординаты точек — индексами матрицы. А именно, индексы матрицы отображаются на плоскость следующим образом: $1,1 \leftrightarrow (x_0, y_0 + \Delta y)$, $1,n \leftrightarrow (x_0 + \Delta x, y_0 + \Delta y)$, $m,1 \leftrightarrow (x_0, y_0)$ и $m,n \leftrightarrow (x_0 + \Delta x, y_0)$, задавая отображение всех индексов на прямоугольную сетку узлов на плоскости.

Эта команда поддерживает следующие опции, указываемые в команде `draw3d`:

`surface_hide = true` — отрисовывает только видимые части поверхности;

`line_type = dots` — тип линии сетки на поверхности: `solid` (сплошная, по умолчанию) и `dots` (точечная);

`line_width = x` — ширина линии сетки на поверхности ($x > 0$, по умолчанию 1);

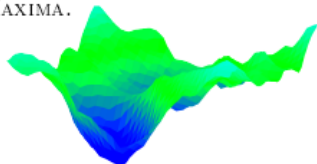
`color = red` — задаёт цвет графика;

`enhanced3d(f(x, y, z), x, y, z)` — задает режим раскраски поверхности: x, y, z — явное указание переменных функции f , реализующей цвет точки (x, y, z) поверхности; кроме того, для этой опции можно (но не обязательно!) указать палитру цветов (по умолчанию она «марсианская»):

`palette=[α, β, γ]` — палитра, задаваемая тремя числами α, β, γ ; заметим, её задание отличается для команды `plot3d`, описанной в справке по МАХИМА.

Попробуйте заменить строчку 38 на следующий код:

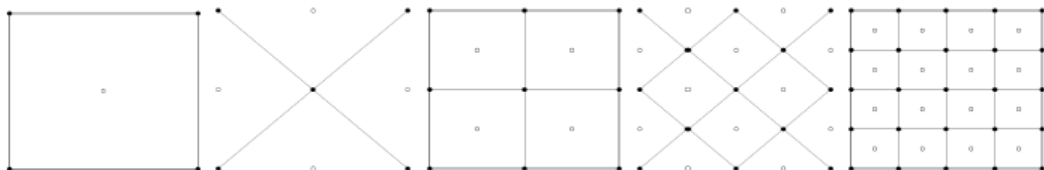
```
п
P
и
м
е
P
draw3d(palette=[0,30,25], enhanced3d=[z,x,y,z],
surface_hide=true, elevation_grid(m,0,0,1,1));
```



И напоследок приведем алгоритм, позволяющий строить аппроксимацию поверхности ФБД с помощью метода срединного смещения. Этот алгоритм работает сравнительно быстро и поэтому широко применяется, однако его реализация не полностью удовлетворяет определению ФБД.

Воспользуемся аналогией с одномерным методом срединных смещений для аппроксимации броуновского движения. Определим значения $X(t_1, t_2)$ в вершинах большого квадрата (см. схему ниже) и вычислим значение в его центре как среднее арифметическое значений его вершин плюс случайное смещение. Рассмотрим квадраты (треугольники, если их центры лежат на границе исходного квадрата), стороны которых в $\sqrt{2}$ раз меньше и параллельны диагоналям исходного квадрата, определим значение в них как среднее арифметическое значений окружающих их вершин плюс случайные смещения.

Повторим два этих шага необходимое число раз. Таким образом, на каждом шаге сначала вычисляются значения в центрах «обычных» квадратов, а затем — в центрах «диагональных» квадратов.



Алгоритм 3.5: Поверхность ФБД методом срединного смещения

Вход: $H \in (0, 1)$; ☞ параметр ФБД, размерность графика равна $d = 3 - H$
 σ ; ☞ параметр, определяющий вертикальный масштаб
 $N = 2^M, M \in \mathbb{N}$; ☞ параметр, определяющий количество точек ФБД по каждому из
двух измерений

Выход: массив значений $\{X_{n,k}\}_{n,k=0}^N$. ☞ дискретная аппроксимация ФБД на решётке
узлов

1: $X_{0,0} = X_{0,N} = X_{N,0} = X_{N,N} = 0$; ☞ инициализация значений в вершинах большого квадрата

2: $r = \sigma$;

3: $D = N$;

☞ инициализация шагов решётки

4: $d = N/2$;

5: **повторять M раз**

6: $r = r/2^{H/2}$;

☞ меняем масштаб

Считаем значения в центрах квадратов как среднее арифметическое их вершин плюс случайное приращение:

7: для $i, j = d, \dots, N - 2$ с шагом D

8: $X_{i,j} = (X_{i+d,j+d} + X_{i+d,j-d} + X_{i-d,j+d} + X_{i-d,j-d})/4 + rg$;

☞ здесь и далее g — случайная величина, распределённая нормально с параметрами $N(0, 1)$

9: $r = r/2^{H/2}$;

☞ меняем масштаб

Считаем значения на границе большого квадрата как среднее значение трёх окружающих узлов плюс случайное приращение:

10: для $i = d, \dots, N - d$ с шагом D

11: $X_{i,0} = (X_{i+d,0} + X_{i-d,0} + X_{i,d})/3 + rg$;

12: $X_{i,N} = (X_{i+d,N} + X_{i-d,N} + X_{i,N-d})/3 + rg$;

13: $X_{0,i} = (X_{0,i+d} + X_{0,i-d} + X_{d,i})/3 + rg$;

14: $X_{N,i} = (X_{N,i+d} + X_{N,i-d} + X_{N-d,i})/3 + rg$;

Считаем значения в центрах диагональных квадратов как среднее значение в вершинах этих квадратов плюс случайное приращение:

15: для $i = d, \dots, N - d$ с шагом D

16: для $j = D, \dots, N - D$ с шагом D

17: $X_{i,j} = (X_{i,j+d} + X_{i,j-d} + X_{i+d,j} + X_{i-d,j})/4 + rg;$

18: для $i = D, \dots, N - D$ с шагом D

19: для $j = d, \dots, N - d$ с шагом D

20: $X_{i,j} = (X_{i,j+d} + X_{i,j-d} + X_{i+d,j} + X_{i-d,j})/4 + rg;$

21: $D = D/2;$

22: $d = d/2;$

ПОВЕРХНОСТЬ ФБД МЕТОДОМ СРЕДИННОГО СМЕЩЕНИЯ

```
1  load(distrib)$
2  load(draw)$
3  H:1$                               /* параметр размерности поверхности */
4  s:2$                               /* параметр вертикального масштаба */
5  M:6$                               /* число шагов алгоритма */
6
7  X[0,0]:0$                          /* инициализация значений в точках первого квадрата */
8  X[0,N]:0$
9  X[N,0]:0$
10 X[N,N]:0$
11 N:2^M$
12 r:s$
13 D:N$                               /* инициализация шага решётки */
14 d:N/2$
15
```

```

16 thru M do
17   (
18     r:r/2^(H/2),
19     for i:d thru N-d step D do
20       for j:d thru N-d step D do
21         X[i,j]:float((X[i+d,j+d]+X[i+d,j-d]+X[i-d,j+d]+X[i-d,j-d])/4+
22           r*random_normal(0,1)),
23     r:r/2^(H/2),
24     for i:d thru N-d step D do
25       (
26         X[i,0]:(X[i+d,0]+X[i-d,0]+X[i,d])/3+r*random_normal(0,1),
27         X[i,N]:(X[i+d,N]+X[i-d,N]+X[i,N-d])/3+r*random_normal(0,1),
28         X[0,i]:(X[0,i+d]+X[0,i-d]+X[d,i])/3+r*random_normal(0,1),
29         X[N,i]:(X[N,i+d]+X[N,i-d]+X[N-d,i])/3+r*random_normal(0,1)
30       ),
31     for i:d thru N-d step D do
32       for j:D thru N-D step D do
33         X[i,j]:(X[i,j+d]+X[i,j-d]+X[i+d,j]+X[i-d,j])/4+r*random_normal(0,1),
34     for i:D thru N-D step D do
35       for j:d thru N-d step D do
36         X[i,j]:(X[i,j+d]+X[i,j-d]+X[i+d,j]+X[i-d,j])/4+r*random_normal(0,1),
37
38     D:D/2,
39     d:d/2
40   )$
41 Y:genmatrix(X,N,N,0,0)$
42 draw3d(elevation_grid(Y,0,0,1,1),surface_hide = true);

```


Здесь цикл `for` используется с дополнительной опцией `step`, означающей шаг инкремента цикла. Кроме того, подумайте, с какой целью используется команда `float` в строчке 22.

ДОМАШНЕ ЗАВДАННЯ

Реализуйте алгоритм построения аппроксимации ФБД с помощью ковариационной матрицы. Алгоритм состоит в следующем. Необходимо получить аппроксимацию ФБД $X(t)$ в точках t_1, \dots, t_n . Для этого:

- Находим матрицу $\Gamma = (r(t_i, t_j))_{i,j=1}^n$, где $r(t, s) = \frac{1}{2}(s^{2H} + t^{2H} - |t - s|^{2H})$;
- Находим $\Sigma = \sqrt{\Gamma}$ (т.е. $\Sigma^2 = \Gamma$) — соответствует матрице стандартного отклонения, ассоциированной с ковариационной матрицей Γ ;
- Пусть $v = \{g_1, \dots, g_n\}$ — вектор, составленный из n нормальных случайных величин с параметрами $N(0, 1)$;
- Тогда $X = \Sigma v$.

Как вычислить матрицу Σ ? Для этого можно использовать разложение Холецкого¹³ (попробуйте!). Здесь же укажем другой способ (посредством собственных значений матрицы Γ):

- Поскольку Γ — симметричная положительно-определённая матрица, то её собственные значения λ_i вещественны и $\lambda_i \geq 0$, $i = \overline{1, n}$;
- Пусть $\Lambda = \text{Diag}(\lambda_i)$, $\Lambda_{i,j} = \lambda_i \delta_{ij}$, — диагональная матрица собственных значений, и пусть $\Lambda^{1/2} = \text{Diag}(\lambda_i^{1/2})$ — диагональная матрица с элементами $\Lambda_{ij}^{1/2} = \lambda_i^{1/2} \delta_{ij}$ (δ_{ij} — символ Кронекера);
- Пусть P — матрица, столбцами которой являются собственные векторы v_i , отвечающих собственным значениям λ_i . Заметим, что матрица P обратима ввиду линейной независимости собственных векторов.
- Тогда $\Sigma = P\Lambda^{1/2}P^{-1}$ (так как $\Gamma = P\Lambda P^{-1}$).